## 柠檬酸络合法合成锂离子电池正极材料 $Li_{1+x}Mn_2O_4$

刘培松 刘兴泉 陈召勇 于作龙 张伯兰\* (中国科学院成都有机化学研究所功能材料研究开发中心 成都 610041)

关键词  $Li_{1+x}Mn_2O_4$  合成, 柠檬酸络合法, 锂离子电池 分类号: 0646.54, TQ152

90 年代初,Sony 技术能源公司首先使  $LiCoO_2/C$  锂离子"摇椅" 蓄电池 [1] 商品化. 但由于 Co 价格较贵,生产成本高以及污染环境等缺点,限制了 Co 的使用. 研究和开发用于锂离子电池作正极材料的有  $LiNiO_2$  和  $LiM n_2O_4$ .  $LiNiO_2$  的容量较高,毒副作用较小,受到人们重视,但是制备和纯化十分困难. 尖晶石型  $LiM n_2O_4$  [2-3] 由于资源丰富,价格便宜,对环境污染小,已成为锂离子电池正极材料研究热点之一.  $Li_{1+x}M n_2O_4$  通常的制备方法是固相合成法,该法比较简单,但焙烧时间长、能耗高、粒度不均匀. 虽然用  $Pechini^{[4,5]}$  的方法文献上已有报道,但该反应由多个步骤组成. 本文采用柠檬酸将金属离子直接分散的方法,减少了乙二醇和柠檬酸发生酯化反应,既避免使用乙二醇,又简化了反应步骤,同样取得较好的结果.

试剂 LiNO<sub>3</sub>、MnAC<sub>2</sub>°4H<sub>2</sub>O、柠檬酸、氨水均为分析纯.

在二次去离子水中将  $LiNO_3$  和  $MnAC_2$  按 n(Li) : n(Mn)=1 : 2 的比例混合,搅拌,然后加入柠檬酸,按 n(Li) : n(Mn) : n(Mn) : n(Mn)=1 : 2 的比例混合,搅拌,然后加入柠檬酸,按 n(Li) : n(Mn) : n(Mn)

Rigaku D/max-rA X 射线粉末衍射仪测定材料结构, CuKα 辐射, 石墨单色器. Micromeritics Digisorb 2600 自动吸附仪上测定比表面积, 液氮作吸附质. Perkin-Elmer TGA7 热分析仪, N2 气氛下, 升温速率 10 ℃/min. JEM-100CX 透射电子显微镜, 加速电压 100 kV.

将制备的样品与乙炔黑、粘结剂(PTFE)按 85:10:5 质量比混合,涂在铝箔集流体上,金属锂作负极.电池装配在充 Ar 气干燥箱中进行,电解液为 1 mol/L 的 LiClO<sub>4</sub>/EC+DEC(1:1)溶液,美国 cellgard 2400 为隔膜.电化学性能测试在计算机控制的上海正方电子有限公司 DC-5 电池测试仪上进行.充放电电流密度为 2500 mA/m², 充放电限制电压 3.0~4.35 V.结果与讨论

由所制备的粉末前驱体 (未焙烧)的 TG-DTA 曲线可知 (图略),100  $^{\circ}$ 之前,失重主要来自水分蒸发. 220~400  $^{\circ}$ 失重急剧变化,以后逐渐趋向平稳. 相对应 DTA 曲线上 260~400  $^{\circ}$ 出现不规则放热峰可认为是 2 个峰的叠加,是柠檬酸和盐类的分解所致. 将粉末前驱体在 400  $^{\circ}$ 分解 1 h 后再进行热失重分析,升温至 600  $^{\circ}$ 质量变化仅为 1. 38%,可见粉末的预分解基本完成,因此选择 400  $^{\circ}$ 作为分解温度. 当 n (Li ) : n (Mn ) : n (柠檬酸)=1 : 2 : 3,焙烧时间均为 12 h 时,600  $^{\circ}$ 焙烧样品为棕红色,700  $^{\circ}$ 为棕黑色,750  $^{\circ}$ 以上变为黑色. 显然焙烧温度不同,材料的组成和结构也不同. 图 1 为样品的 X 射线衍射图谱,由图可见,600  $^{\circ}$ 制得的样品

LiMn<sub>2</sub>O<sub>4</sub> 的衍射峰不明显,随着焙烧温度升高,LiMn<sub>2</sub>O<sub>4</sub> 的 311、222、400、331 峰的强度增大,衍射峰变锐;且杂质相  $\alpha$ -M  $n_2$ O<sub>3</sub> 的强度降低,说明焙烧温度升高样品晶粒变大、结晶更完整.700 和 750  $^{\circ}$  的 X RD 衍射是 LiMn<sub>2</sub>O<sub>4</sub> 和 M  $n_2$ O<sub>3</sub> 共存相.800  $^{\circ}$  得到完整的 LiMn<sub>2</sub>O<sub>4</sub> 衍射图,与标准谱图(35-782)对应,说明只有当焙烧温度大于 750  $^{\circ}$  时才能合成纯尖晶石形 LiMn<sub>2</sub>O<sub>4</sub> 化合物.由图 2 不同焙烧温度制备的样品的 TEM 照片可见,600  $^{\circ}$  样品粒径较小,且含有片状物质;700  $^{\circ}$  颗粒较大,不均匀;750  $^{\circ}$  粒径大约为 150  $^{\circ}$  200 nm,较均匀;800  $^{\circ}$  粒径为500 nm,颗粒之间发生团聚.

比表面测定结果表明(图略): 随焙烧温度增加,比表面积逐渐减少. 这主要是由于高温时晶粒变大及微孔面积减少造成. Manev 等 $^{[6]}$  报道用固相法  $600 \sim 750$   $^{\circ}$ C制备  $LiM_{12}O_{4}$  材料的比表面积约 1.5

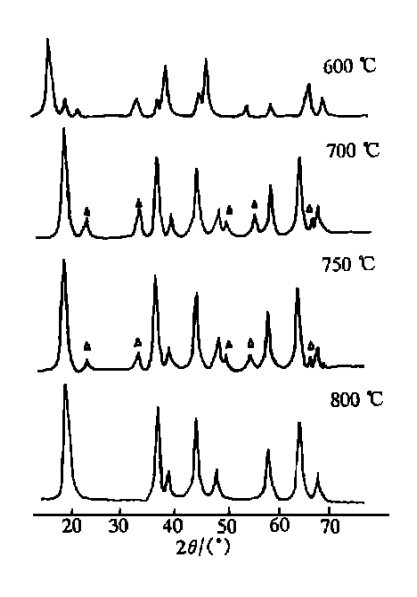


Fig. 1 X-ray diffraction patterns of products synthesized at different temperatures

 $m^2/g$ . 由于制备方法的差异,本文 750 <sup>©</sup>样品的比表面积约 2.5  $m^2/g$ . 比表面积小,晶体完整,有利于提高晶体热稳定性;但由于颗粒增大,影响了  $Li^+$ 在晶体中的扩散,阻抗增大.比表面积大,晶体内部缺陷多,有利于  $Li^+$ 的脱出、嵌入.要得到电化学性能优良的  $LiM n_2O_4$  正极材料,综合考虑上述因素,推测 750 <sup>©</sup>是较理想的焙烧温度.

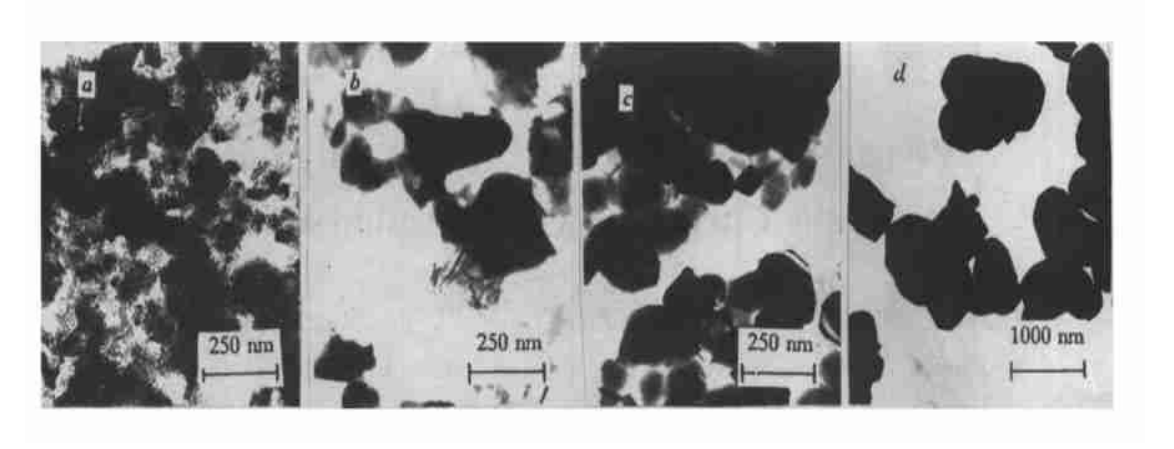


Fig. 2 TEM images of sample calcined at different temperature a.600~%; b.700~%; c.750~%; d.800~%

将制备的样品组成电池,电池充放电容量与循环次数结果见图 3. 从循环性能看,低于750 °C制备的样品首次充放电容量较低,但电池循环性能比较好;800 °C样品首次充放电容量较高,但容量衰减快.750 °C样品比其它温度的样品具有更好的电化学性能,当充放电电流密度为 2500  $\rm mA/m^2$ ,限制电压 3.0 ~4. 35 V 时,该材料具有较好的循环可逆性.首次充放电容量达到 120  $\rm mA$  °h/g,循环 50 次后容量仍在 115  $\rm mA$  °h/g.将 LiNO3 和 MnAC2 按不同的 Li 与Mn 摩尔比混合制成粉末,400 °C预分解 1 h,750 °C焙烧 12 h,自然冷却.由于高温焙烧过程中

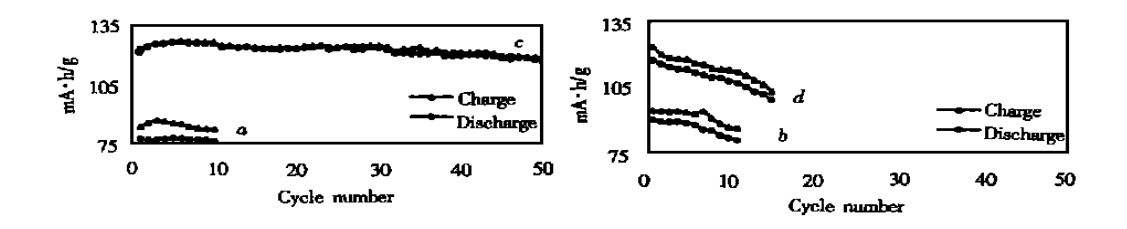


Fig. 3 Charge/ discharge capacity of sample as a function of cycle numbers  $a.600~^{\circ}\text{C}$ ;  $b.700~^{\circ}\text{C}$ ;  $c.750~^{\circ}\text{C}$ ;  $d.800~^{\circ}\text{C}$ 

Li 将有部分挥发,因此 Li 的用量应稍多一些. Li $Mn_2O_4$  材料的初始容量低,但循环性能好,效率高. Li<sub>1+x</sub> $Mn_2O_4$ 中多余的 Li 能补充第 1 次循环不可逆容量损失,但衰减较快. 因此倾向于合成纯 Li $Mn_2O_4$  材料作为正极材料(表 1).

Tab. 1 Effect of n(Li)/n(Mn) ratio on charge discharge capacity of sample

n(Li)/n(Mn)	$C_0$ / (mA°h°g <sup>-1</sup> )	$C_{10}$ / (mA°h°g $^{-1}$ )	n(Li)/n(Mn)	$C_0$ / (mA°h°g <sup>-1</sup> )	$C_{10}/(\text{mA} \cdot \text{h} \cdot \text{g}^{-1})$
LiM n <sub>2</sub> O <sub>4</sub>	121. 0	125. 3	Li <sub>1. 20</sub> M n <sub>2</sub> O <sub>4</sub>	133. 8	98. 5
${ m Li}_{1.10}{ m M}{ m n}_2{ m O}_4$	123. 2	101. 4			

 $C_0$ : initial capacity;  $C_{10}$ : capacity after 10 cycles.

## 参 考 文 献

- 1 Nagura T. 4th International Rechargeable Battery Seminar, Deer Field Beach, Florida 1990
- 2 Thackeray M M, David W L, Bruce P G, et al. Mat Res Bull, 1983, 18: 461
- 3 Ohzuku T, Kitagawa M, Hirai T. J Electrochem Soc, 1990, 137: 769
- 4 Liu W, Kow al K, Farrington G C. J Electrochem Soc, 1996, 143: 3590
- 5 Liu W, Farrington G C, Chaput F, et al. J Electrochem Soc, 1996 143: 879
- 6 Maney V, Banov B, Momchilov A, et al. J Power Sources, 1995, 57; 99

## Preparation of $Li_{1+x}Mn_2O_4$ for Lithium-ion Battery by Citric Acid Complexation Method

LIU Pei-Song, LIU Xing-Quan, CHEN Zhao-Yong, YU Zuo-Long, ZHANG Bai-Lan (Research and Developing Center of Functional Materials, Chengdu Institute of Organic Chemistry, Chinese Academy of Sciences, Chengdu 610041)

**Abstract** The cathode material  $\text{Li}_{1+x}\text{Mn}_2\text{O}_4$  was prepared by a modified citric acid complexation method. The influences of temperature, sintering time and n (Li)/n (Mn) ratio on the structure of the products have been explored, characterized and tested by XRD, TEM, BET measurements. The sample sintered at 750 °C for 12 h had greater charge/discharge capacity, better cyclic stability under electric current charge/discharge cycle. The initial capacity reached 120 mA °h/g with the charge/discharge efficiency of 98% and maintained 115 mA °h/g after 50 cycles. **Keywords**  $\text{Li}_{1+x}\text{Mn}_2\text{O}_4$ , preparation, citric acid complexation, Li-ion battery